

しらすの含水比と力学的特性について

九州電力(株)総合研究所 正会員 赤司六哉 永津忠治 古賀善雄
西日本技術開発(株) 橋口邦男○山下正哉

1. まえがき

砂質土の力学的特性に影響をおよぼす要因として、大まかに、乾燥密度(間隙比)、含水比(飽和度)、粒度などを挙げることができる。しらすは、上述の要因のほかに地質的な固結効果、粒子破碎なども考えられる。しかしながら、構造物を建設する場合、調査・設計の合理化という立場から言えば、力学的特性は、できるだけ少ないパラメータで、しかも単純な形で判定されることが望ましい。そこで、送電線鉄塔基礎建設予定地点より、乱さないしらすを採取して、物理試験、三軸圧縮試験などの室内土質試験と、また、これに並行して土質試験試料採取位置での山中式土壤硬度計(YH-62A型)による指標硬度測定を行なった。その結果、各種相関図より、比重、含水比あるいは指標硬度から強度・変形特性の推定が可能であることがわかった。今回は、このうち強度特性について報告する。

2. 試料採取および試験方法

試験に用いた試料は、鹿児島県薩摩郡ちよび曾於郡で採取したものである。採取の方法は、採取地点にテストピットを掘削し、深さ1m~6mの位置で、できるだけ乱れないようにナイフなどを用いて、地盤を円筒状に切出し、シンウェールチューブに試料を挿入した。なお、試料採取地点での、指標硬度測定結果は $H_c = 15^{\text{mm}} \sim 25^{\text{mm}}$ の範囲で、土質工学会しらす基準化委員会案¹⁾によれば、これらは、極軟質しらす~軟質しらすに相当する。また、室内土質試験は、JISおよびJSF(土質工学会基準)に準拠して実施した。

3. 試験結果とその考察

(1) 室内土質試験結果について

図-1は、間隙比 e と含水比 w 、図-2は、 e と比重 G_s との関係を示したものである。これらの関係において、 $G_s = 2.55$ 以下の試料と $G_s = 2.55$ 以上の試料とでは、その傾向が大きく異なることがわかる。すなわち、 G_s の2.55を境として、 e は1.5以上および以下に大別でき、しかも、 G_s および w の増大とともに、 e も大きくなる傾向にある。さらに、図-3は、採取試料の粒度を $G_s = 2.55$ を境界として描いたものであるが、ここでも両者は異なった傾向を示し、 G_s が大きなものほど細粒分含率は大きく、 G_s は風化の程度を指示していると考えることが可能である。

以上のことから、しらすの力学的特性についての検討は、 G_s をパラ

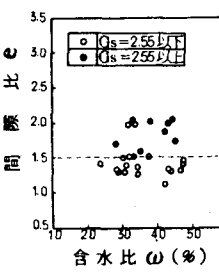
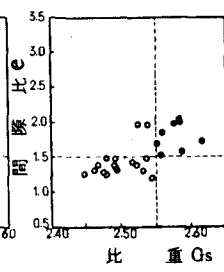
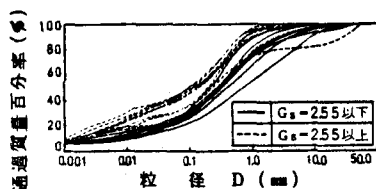
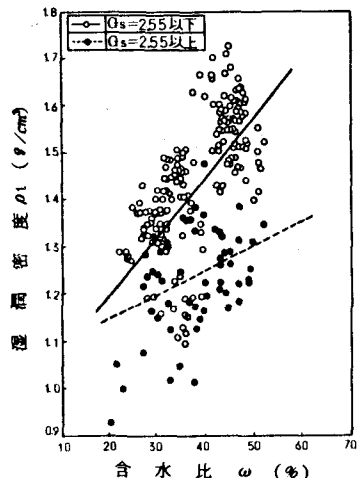
図-1 $e \sim w$ 図-2 $e \sim G_s$ 

図-3 採取試料の粒度

図-4 $\rho_d \sim w$

メーターとする必要があると推定された。なお、図-4は、湿潤密度 γ と ω の関係を示したものであるが、 $G_s = 2.55$ を境界として、二つの回帰直線で表わされる。すなわち、 ω 、 G_s を知ることにより、 γ の推定が可能であると言える。

密度定数 C' 、 ϕ' の整理にあたっては、同一採取地点の試料でも、個々の供試体の初期性状に多少のばらつきが認められることから、各側圧別に破壊時の軸差応力 $(\sigma_1 - \sigma_3)_f$ 、間隙水圧 U_f と各物理定数(ω 、 S_f 、 e 、 P_a)との関係を求める。既報告²⁾では、これらの関係において、飽和度 S_f との相関性が最も高く S_f を用いて、強度特性の整理を行なった。しかしながら、今回は、調査試料を追加したこと、 G_s をパラメーターとして加えたことから、 ω によって、力学的特性の整理が可能であることがわかった。図-5は、 $(\sigma_1 - \sigma_3)_f$ と ω の関係を示したもの的一部であるが、 $G_s = 2.55$ を境界として二つの回帰曲線で表わされ、 ω が大きい供試体ほど $(\sigma_1 - \sigma_3)_f$ は小さく、また、 G_s が2.55以下の供試体と2.55以上の供試体とでは、前者の方が後者の方より大きな値を示す。なお、 $U_f \sim \omega$ については、 G_s に関係なく同一の直線で表わされ、 ω が大きい供試体ほど U_f は大きくなる傾向にある。これらの関係から、各含水比における C' 、 ϕ' を求めたのが図-6である。すなわち、 ω 、 G_s を知ることにより、 C' 、 ϕ' の推定は可能である。

② 指標硬度測定結果について

図-7は、 $\omega \sim H_i$ 、 $P_d \sim H_i$ の関係を示したものである。また、図-8は、 $C' \sim H_i$ 、 $\phi' \sim H_i$ の関係を示したものであるが、いずれも、比較的良好な相関関係にあり、特に、 C' 、 ϕ' については、 H_i からある程度の推定が可能であると言いうことができる。

結論として、しらすの強度特性は、含水比などの物理定数から十分判定でき、また、指標硬度は、しらすの諸物性値を知る上で有効な手段であるということができる。

(参考文献)

1) 土質工学会、しらす基準化委員会「しらす基準化シンポジウム発表論文集」1979

2) 赤司ほか「しらすの飽和度と力学的特性について」土質工学会研究発表会論文集 1981

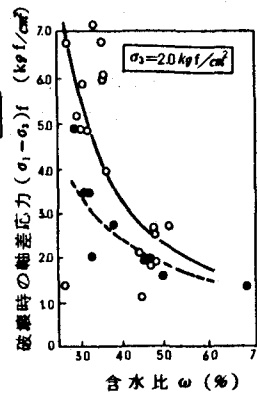
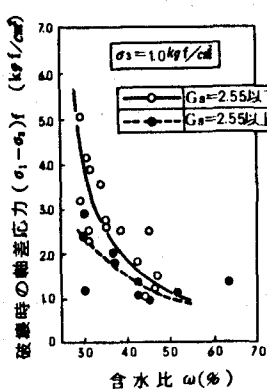


図-5 $(\sigma_1 - \sigma_3)_f \sim \omega$

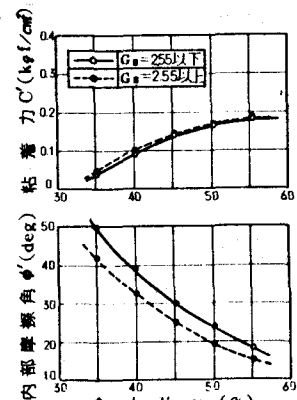
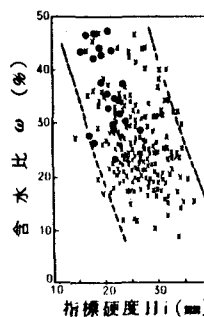


図-6 $C' \sim \omega$, $\phi' \sim \omega$



● 今回調査資料
× 文 献 1)

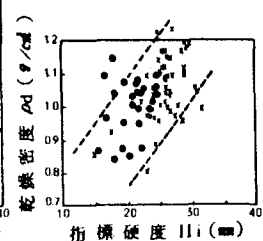


図-7 $\omega \sim H_i$, $P_d \sim H_i$

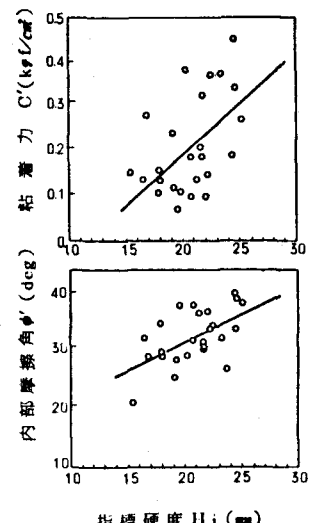


図-8 $C' \sim H_i$, $\phi' \sim H_i$